

SIVmac239 感染恒河猴急性期回肠派氏 淋巴结中淋巴细胞亚群的变化

刘克剑,丛 喆,吴芳新,王 卫,熊 竞,魏 强,秦 川

(中国医学科学院医学实验动物研究所,卫生部人类疾病比较医学重点实验室,国家中医药管理局 人类疾病动物模型三级实验室,北京 100021)

【摘要】目的 分析 SIVmac239 感染早期中国恒河猴回肠派氏淋巴结淋巴细胞数量及亚群的变化,探讨这些变化与疾病进展的可能关系。方法 以静脉注射 SIVmac239 制备恒河猴 AIDS 模型,对回肠派氏淋巴结进行 CD4和 CD8免疫组化标记,分离 Peyer's集合淋巴结淋巴细胞,分别标记 CD3、CD4、CD8、CD28、CD95单克隆抗体,以流式细胞仪检测 T细胞及其亚群的表达情况。结果 SIVmac239 感染急性期中国恒河猴 Peyer 淋巴结中 CD4+/CD8+比值持续下降,记忆性细胞比例升高,但 Peyer 淋巴结形态及 CD4+ T细胞数量未见明显变化,CD8+ T细胞从第5天开始持续升高。结论 SIVmac239感染急性期,中国恒河猴回肠派氏淋巴结形态及 CD4+ T细胞数量基本维持,向记忆性细胞的转化增加,但是 CD4+/CD8+比值下降。

【关键词】 AIDS;派氏淋巴结;T 淋巴细胞;恒河猴

【中图分类号】R373.33 R332 【文献标识码】A 【文章编号】1671-7856(2012)06-0025-05 doi: 10.3969/j.issn.1671-7856.2012.06.007

The Changes of Lymphocytes from Ileum Peyers Pacth from Rhesus Monkeys at the Earliest Period with SIVmac239 Infection

LIU Ke-jian, CONG Zhe, WU Fang-xin, WANG Wei, XIONG Jing, WEI Qiang, QIN Chuan (Key Laboratory of Human Diseases Comparative Medicine, Ministry of Health; Institute of Medical Laboratory Animal Science, Chinese Academy of Medical Sciences; Key Laboratory of Human Diseases Animal Models, State Administration of Traditional Chinese medicine, Beijing 100021, China)

[Abstract] Objective To analyze the changes of lymphocytes from ileum Peyers pacth from Chinese rhesus monkeys at acute period with SIVmac239 infection. Methods 9 rhesus monkeys were used and 5 were infected with SIVmac239 via intravenous injection. The tissues or lymphocytes from ileum Peyers pacth lymph nodes from rhesus monkeys at acute period were collected and analyszed with CD4 + , CD8 immunohistochemistry and flow cytometry T-cell subsets labeling with CD3, CD4, CD8, CD28, CD95 monoclonal antibodies respectively. Results Obviously declined CD4 + /CD8 + ratio and increased memory cells (CD4 + & CD8 +) ratio and CD8 + T cells were detected in Peyers lymph nodes, but CD4 counts had no significant change in Peyers lymph nodes. Conclusion Declined CD4 + /CD8 + ratio and increased memory cells (CD4 + & CD8 +) ratio were found in Peyers lymph nodes from rhesus macaques at acute period with SIVmac239 infection, however, the meaning and possible affection to disease need further study.

[[]基金项目]"十二五"国家科技重大专项课题(2012ZX10004-501);协和青年基金(SIV 感染早期粘膜屏障结构的改变)。

[[]作者简介]刘克剑,男,博士生,从事实验动物病毒学研究工作。

[[]通讯作者]秦川,教授,博士生导师,研究方向:重大传染病发病机制。E-mail: qinchuan@ pumc. edu. cn。 魏强,教授,博士生导师,研究方向:艾滋病模型及应用。E-mail: weiqiang@ cnilas. pumc. edu. cn。

[Key words] AIDS; Peyer's Patch; T cell; Reshus monkeys

在我们长期进行的灵长类艾滋病动物模型研究中发现,不同动物疾病进程表现不十分一致,除了个体遗传差异等因素影响,也可能与病毒早期和机体相互作用相关,因此,了解肠道粘膜组织在AIDS发病过程中的重要作用对疾病的发生、发展至关重要。

肠道粘膜组织的免疫系统主要由两部分构成,分别是免疫诱导部位,主要是有结构的淋巴组织,如派氏淋巴结(peyer's patch,PP)和免疫效应部位,主要是分布在粘膜固有层中弥散的淋巴组织。目前 AIDS 研究中关于粘膜部分主要集中在固有层,而派氏淋巴结的资料相对较少,缺乏系统性研究。据文献推测艾滋病病毒的宿主侵入、早期控制、疾病转归等与 PP 直接相关。基于此,本文对SIVmac239 感染早期的中国恒河猴回肠肠道 PP 中免疫细胞数量及分群的变化做初步研究,分析可能的对疾病进程的影响。

1 材料和方法

1.1 实验动物与模型制备

健康恒河猴9只,购自北京协尔鑫生物资源研究所(合格证编号:SCXK(京)2005-2005),实验前体重为3~5 kg,动物实验在本所P3实验室进行[SYXK(京)2009-0003];实验动物经IFA 法检查排除猴免疫缺陷病毒(SIV)、猴逆转录D型病毒(SRV-1)和猴T淋巴细胞性I型病毒(STLV-1)的感染。其中猴489、3-2、3-3、3-4、3-5静脉感染1000 TCID₅₀1mL SIVmac239,其余4只作为正常对照,定期采样,测定血浆病毒载量及细胞变化。

1.2 样品采集

- 1.2.1 外周血 分别于感染前及感染后第 0, 7, 14, 28 天采集实验猴 EDTA 抗凝血,测定血浆病毒载量、血常规及流式检测^[1]。
- 1.2.2 肠道组织采集及病理制片 分别于第 0, 1, 3, 5, 7, 14 天剖腹手术截取 10 cm 回肠肠段 (0 d 取 4 只动物,其余时间点一只),分离 PP 淋巴细胞, 其余经 4% 中性甲醛固定 24 h,修块,4% 福尔马林再固定 24 h,包埋、切片。
- 1.2.3 PP 淋巴细胞分离 肠段纵向剖开,解剖镜下用眼科剪剪下派氏淋巴结^[2],置于预冷的含 5% 胎牛血清的 PRMI-1640(R-5)培养基中。剪碎,用冷

的 PBS(不含钙镁离子) 冲洗两次。研磨,70 μ m 孔 径细胞筛过滤(BD, Cat#352350)。4°C 2000 rpm 离心 10 min,重悬,调整细胞浓度为 1×10^6 cell/mL。

1.3 免疫组化

组织切片用抗 CD4、CD8 抗体进行标记。具体步骤如下:PBS 冲洗,2 min×3 次。滴加一抗,37℃ 孵育 2 h,PBS 冲洗,2 min×3 次。滴加试剂 1(中杉金桥,PV-9000),37℃ 孵育 20 min,PBS 冲洗,2 min×3 次。滴加试剂 2(中杉金桥,PV-9000),37℃ 孵育 20 min,PBS 冲洗,2 min×3 次。DAB 溶液显色。自来水充分冲洗、复染、脱水、透明、封片,镜下观察,计数(每个样本取 3 个高倍视野,计算平均值)。

1.4 流式检测

取细胞悬液 100 μ L,置于流式管中,标记抗 CD3、CD4、CD8、CD28,CD95 抗体,室温避光作用 15 min。用 10% 胎牛血清 RPMI 1640 培养基洗 2 次, 悬浮于 500 μ L 的 pH7. 2 PBS 中, BD FACA-CANTO FACS 仪上分类计数。

2 结果

2.1 SIVmac239 感染猴血浆病毒载量结果

血浆病毒载量结果显示,全部攻毒的动物在攻毒后第7天可检测出血浆病毒载量,载量峰值位于 1×10^5 到 1×10^7 copies/mL之间,表明这些动物在实验进行中的28 d内被病毒感染并且病毒能进行有效复制。

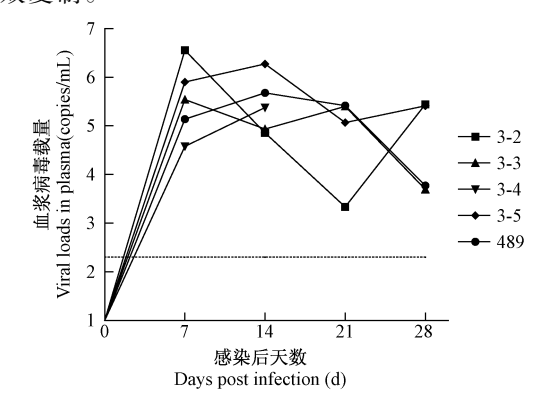


图 1 SIVmac239 感染猴血浆病毒载量结果

Fig. 1 The changes of viral loads in plasma of SIVmac239-inoculated rhesus monkeys

2.2 SIVmac239 感染猴肠道 PP 淋巴结 CD4 + T 淋巴细胞免疫组化结果

0 d 结果显示,健康中国恒河猴派氏淋巴结滤泡

中心发育完好,CD4 + 细胞主要分布于淋巴鞘,在滤泡中心也有零星分布,大小正常,形态完整;感染猴在SIVmac239 感染后 1,3,5 d派氏淋巴结与正常恒河猴派氏淋巴结一样 T细胞分布于淋巴鞘,形态完整,CD4 + T淋巴细胞在局部细胞密度与正常对照组未见明显区别(彩插 5 图 2 A,C)。7,14 d派氏淋巴结中心区域淋巴细胞有所增加,CD4 + T淋巴细胞在局部细胞密度有所增大(彩插 5 图 2 A,C)。CD8 + 细胞主要分布于淋巴鞘,在滤泡中心也有零星分布,大小正常,形态完整;数目随时间增加而增多(彩插 5 图 2 D)。

2.3 SIVmac239 感染猴肠道 PP 淋巴结 CD4⁺/CD8⁺ T 细胞比值的变化

在 SIV mac 239 感染后, 免疫组化计数结果: 动物

1.25 A M PP

1.00

R H 2 0.75

0.25

0 1 3 5 7 14

感染后天数
Days post infection (d)

的 PP CD4 $^+$ /CD8 $^+$ T 细胞比值减少。由感染前的 0.90 左右降到感染后 5 d 的 0.55,第 7 天为的 0.39,第 14 天为 0.37 (彩插 5 图 2 A)。流式细胞检测结果:动物的 PP CD4 $^+$ /CD8 $^+$ T 细胞比值减少。由感染前的 1.00 左右降到感染后 5 d 的 0.25,仅为正常值的 25%,第 7 天为正常值的 40%,第 14 天仅为正常值的 3% (彩插 5 图 2 B)。

2.4 SIVmac239 感染猴回肠派氏淋巴结中记忆性 T细胞的变化

恒河猴感染 SIVmac239 早期 PP 淋巴结中 Naive CD4 + T细胞所占的比例随着时间有所增加,从正常的 27% 升至第 14 天的 85.5%。同时伴随着 T_{CM} 的持续下降,从正常恒河猴的 71.5% 下降至第 5 天的 53.1%,第 14 天时更是降至 9.5%。

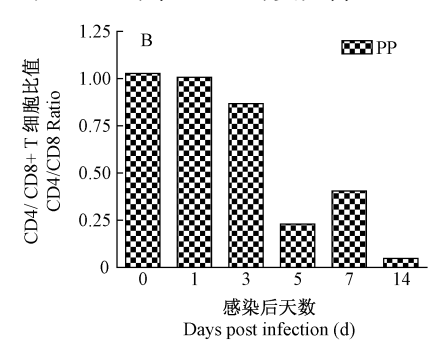


图 3 SIVmac239 感染后急性期不同天数回肠内 PP CD4 + / CD + 8 比值 注: A: CD4 + 和 CD8 + T 细胞免疫组化平均数比值; B: 流式细胞检测 CD4/CD8 + T 细胞比值

Fig. 3 CD4 +/CD8 + T cell ratio in PP from SIV infected rhesus monkeys obtained from GI tract

Note: A: CD4 + / CD8 + T cell ratio with Immunohistochemistry assay; B: CD4 + / CD8 + T cell ratio with Flow Cytometry Analysis

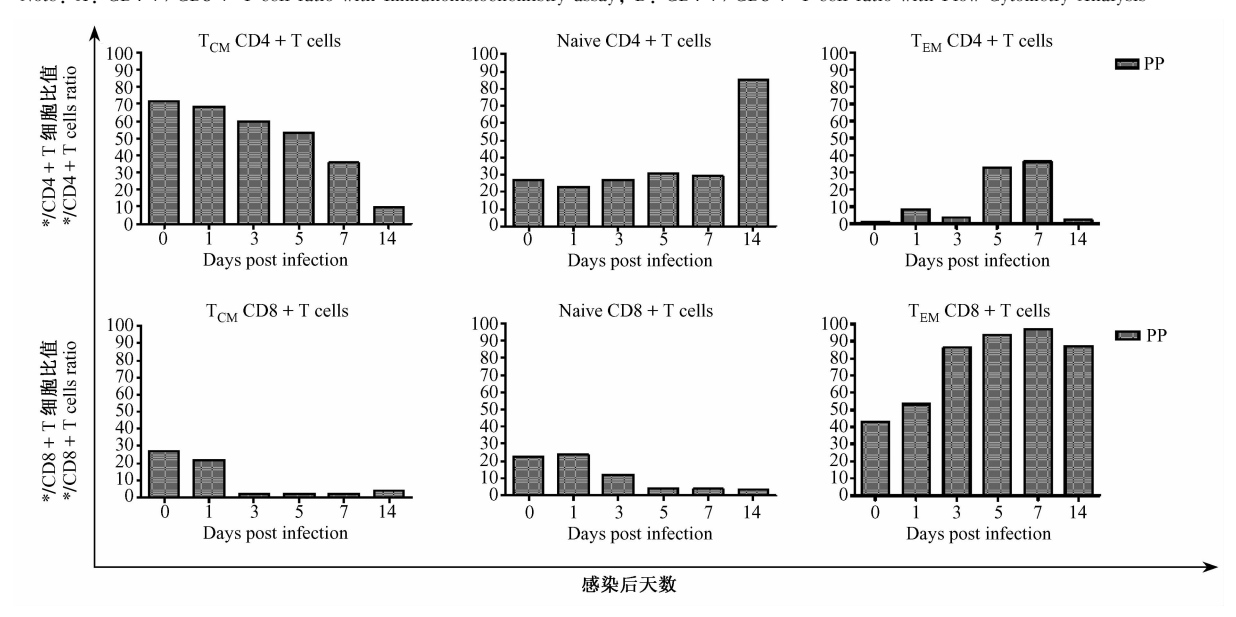


图 4 SIVmac239 感染急性期恒河猴回肠 PP,CD4 + /CD8 + T Naïve 与记忆性 CD4 + /CD8 + T 比例的变化 Fig. 4 The changes of Naïve, Tcm, Tem, CD4 + /CD8 + T cells in PP of Chinese-origin

rhesus monkeys infected intravenously with SIVmac239

与此相反,正常猴回肠 PP 淋巴结中 T_{EM} 仅占1% 左右,感染后略有增加,在5 d、7 d 达到峰值,约为30%到40%,到第14天时则重新下降至2.3%。

Naive CD8 + T 比例第 3 天下降至正常值 (22.2%)的一半左右,之后持续下降,一致维持至 14 d 均无明显变化; TcM 与 Naive 情况相似,感染后 3 d 即从正常的 27.3% 降到 2.0%,持续到 14 d; T_{EM} CD8 + T细胞在 7 d 内比例逐渐升高(43% - 97%),到 14 d 一直维持在较高水平。

3 讨论

消化道是 HIV 及其相关病毒的侵犯目标, HIV 在消化道粘膜中攻击目标主要是 CD4 + T 淋巴细胞, 在整个感染过程中起着重要作用, 与外周血液相比, 一般认为在感染过程中, 粘膜 CD4 + T 淋巴细胞的损耗出现得更早、更剧烈, 肠道中最丰富的 CD4 + T 淋巴细胞存在于肠道固有层并且多处于激活状态, 所以感染及消耗的细胞也主要在固有层。固有层之外, 肠道内的效应部位, PP 由于其结构与功能均与固有层有所不同, 所以派氏淋巴结内的 CD4 + T 细胞在感染初期的表型与形态与固有层也是否有所区别, 为本文关注内容之一。

PP 是沿小肠纵向分布,位于粘膜下层,肉眼可见的微小的集合淋巴组织^[3]。在一般情况下,PP 集中于小肠末端部分(特别是回肠),PP 由上皮下圆顶区、滤泡区和滤泡旁区组成。T细胞位于滤泡旁区,主要为 CD4 + T和 CD8 + T细胞,表达 T细胞受体,其中有中心记忆性和初始 T淋巴细胞^[4,5]。

在免疫反应中,首先,初始 T 细胞进入 PP,成为记忆/效应性 T 细胞后,从 PP 粘膜通过传出淋巴结和外周血移植向效应部位^[6]。HIV 优先感染激活的 CD4 + T 细胞,根据效应部位与诱导部位的差异,在感染早期,粘膜 CD4 + T 细胞的严重损耗,但本文对感染早期 PP 的免疫组化及流式检测表明,PP 中 CD4 + T 细胞的减少及破坏在 SIVmac239 感染的 14 d 内程度是很轻微的,如图 2 所示。虽然流式结果显示在感染早期 PP CD4 + /CD8 + T 淋巴细胞比值有所下降,这提示了在 CD4 + 数目没有明显降低的情况下,CD8 + T 细胞的数目增多,针对 PP CD8 + 细胞的免疫组化结果支持这一推断,如图 3。所以 CD4 + T 细胞的稳定与 CD4 + /CD8 + T 淋巴细胞比值的下降不矛盾。某些研究发现,HIV 感染晚期在派氏淋巴结中有与其他淋巴组织类似的 T

细胞变化,主要是 CD4 + T 细胞数目的减少。结合感染初期 PP 中 CD4 + T 淋巴细胞相对完好的状况,如果能有效减缓 PP 中 CD4 + T 细胞的损耗将有助于延缓 AIDS 的进程。

HIV-1 感染后的 T 细胞免疫应答在感染早期, 至少在感染之后的 10 d 内, 机体外周血中检测不 到明显的 T 细胞应答, 病毒在这段时间内大量扩 增,在不同的靶细胞中潜伏,为病毒的长期持续性 感染奠定了基础。感染10 d后(2~3周),随着病 毒的进一步扩增,产生大量的 T 细胞免疫反应,病 毒载量随着 CD8 + T 细胞免疫反应的出现与升高开 始下降,并逐步到达一个稳定点(set point)。与此 相似,来自恒河猴外周血的数据也表明,针对 SIV 的 外周血特异性 T 细胞应答主要发生于感染 14 天以 后^[7]。但在 SIVmac239 感染早期的恒河猴回肠 PP 中,7 d之内既能检测到活跃的细胞免疫应答,表现 为效应记忆性 CD4 + T和 CD8 + T淋巴细胞比例 的逐步升高,说明在感染很早期病毒复制活跃的部 分(比如肠道粘膜)已经有活跃的免疫应答,血液中 检测结果的延迟说明血液可能并不是了解病毒感 染早期机体生物事件的有效窗口。目前有关于粘 膜的研究,比如对粘膜固有层的研究表明,固有层 含有各种表型的 T 细胞,包括大量的 CD4 + T 细 胞,在正常的人类及非人灵长类当中,固有层 CD4 + T细胞与 CD8 + T细胞的比率与外周血及淋巴结相 似,但粘膜中表达 CCR5 的 CD4 + T 细胞比例更大, 拥有记忆表型并表达细胞激活的标志物,并且大部 分 CD4 + T 细胞也在原位产生细胞因子,提示这些 细胞是激活的并最终分化的细胞,也是 HIV/SIV 感 染的极好靶标。所以在固有层,感染3~4d后即可 检出大量的受感染细胞,并且 SIV 感染猴的粘膜效 应位点 CD4 + T细胞剧烈而迅速的损耗[3]。作为 目前研究 AIDS 最实用的模型,SIV 感染恒河猴肠道 组织中早期 T 细胞免疫反应的变化为研究 HIV 感 染者疾病的发生发展规律提供了线索。

而同样作为粘膜免疫系统的构成部分,免疫诱导部位的 PP,其 CD4 + T细胞数目变化与固有层相比却在急性期未见明显变化。而在免疫表型方面,由于 HIV-1 可优先感染 HIV-1 特异性 CD4 + T细胞,随着病情的进展,HIV-1 特异性 CD4 + T细胞会逐渐减少乃至完全耗竭。HIV-1 特异性 CD4 + T细胞的主要功能在于维护 HIV-1 特异性 CD8 + T细胞的功能上,而不是在直接抗击 HIV-1 中。既往

的研究也表明, CD4 + T细胞在 CD8 + T细胞免疫 反应的激活, 记忆性 CD8 + T细胞的维持以及 CD8 + T细胞的功能成熟等过程中起重要的作用。相应地, HIV-1 感染所导致 CD4 + T细胞的耗竭,可导致 HIV 特异性的记忆 CD8 + T细胞的成熟障碍以及 HIV-1 特异性 CD8 + T细胞的功能受损^[8-9]。如图 3 所示,效应记忆性 CD8 + T细胞在感染 14d后在 PP 中比例的下降与效应记忆性 CD4 + T细胞的下降趋势相同,且效应记忆性 CD4 + T细胞下降比例更为明显,从侧面证明,在感染早期的 PP 效应记忆性 CD4 + T细胞的丢失可能是导致效应记忆性 CD8 + T细胞比例下降的原因。

综上所述,关于 SIV 感染急性期不同时间 PP 淋 巴细胞的变化,目前尚未见相关报道。本研究中正 常对照组中国恒河猴 PP 中 CD4/CD8 细胞约等于 1。与正常对照组相比,SIVmac239 感染的中国恒河 猴 PP 中 CD4/CD8 + T 细胞比值显著降低,但同时 PP 中 CD4 + T 细胞的数量及形态几乎没有变化,而 同时期其它研究表明固有层中的 CD4 + 数量急剧下 降且大量凋亡及坏死,说明在感染急性期 PP 中的 CD4 + 可能得到循环血中 T 细胞的补充,从而维持 其形态及功能。因此 PP 中 CD4 + T 细胞数量和功 能在感染早期对维持粘膜局部的免疫功能发挥影 响。SIVmac239 感染急性期 PP 中 CD4 + T 细胞数 量及形态的维持,以及向记忆性表型的转化提示, PP 在感染早期对补充因感染损失的淋巴细胞起重 要作用,同时,对病毒及机体相互作用后最终造成 不同感染程度可能产生一定影响。

参考文献:

[1] 丛喆, 李兆忠, 魏强等. SYBR Green I 实时荧光定量 RT-

- PCR 测定猴免疫缺陷病毒(SIV)RNA 拷贝数方法的建立[J]. 中国实验动物学报,2006,14(4):271-275.
- [2] Michael Vajdy, Ronald S. Veazey, Heather K. Knight et al. Differential effects of Simian Immunodeficiency Virus infection on immune inductive and effector sites in the rectal mucosa of rhesus macaques [J]. Am J Pathol, 2000, 2(157): 485-495.
- [3] Makala LH, Suzuki N, Nagasawa H. Peyer's patches: organized lyniphoid structures for the induction of mucosal immune responses in the intestine [J]. Pathobiology, 2003, 70(2): 55 -68.
- [4] Picker LJ, Watkins DI. HIV pathogenesis: the first cut is the deepest [J]. Nat Immunol, 2005, 6(5): 430-432.
- [5] Veazey RS, DeMaria M, Chalifoux LV, et al. The gastrointestinal tract as a major site of CD4 + T cell depletion and viral replication in SIV infection [J]. Science, 1998, 280 (17): 427-431.
- [6] Horton H, Vogel T, O'Connor D, et al. Analysis of the immune response and viral evolution during the acute phase of SIV infection [J]. Vaccine, 2002, 20(15): 1927-1932.
- [7] Shacklett BL, Ling B, Veazey RS, et al. Boosting of SIV-specific T cell responses in rhesus macaques that resist repeated intravaginal challenge with SIVmac251 [J]. AIDS Res Hum Retroviruses, 2002, 18(14): 1081-1088.
- [8] Maziana SK. Liu CH, Tzianabos AO, eral. An immunomodulatory molecule of sylnblotic bacteria directs matturation of the host immununesystem [J]. Cell, 2005, 122 (1): 107-18
- [9] Rakoff-Nahoum S, Paglino J, Eslami-Varzaneh F, Edberg SRecognition of commensal microflora by toll-like receptors is required for intestinal homeostasis [J]. Cell, 2004, 118(2): 229-41

[修回日期]2010-08-20